

تخمين منحنی مشخصه با پس‌ماند رطوبتی به روش معکوس و مدل‌های اسکات و معلم در دو خاک مختلف

فریبوز عباسی<sup>۱</sup>

تاریخ دریافت: ۱۳۹۱/۴/۲۱

تاریخ پذیرش: ۱۳۹۱/۱۰/۱۰

حکیمہ

حرکت آب در خاک های غیر اشیاع معمولاً توسط پدیده پس ماند رطوبتی تحت تاثیر قرار می گیرد. اما اغلب در توصیف انتقال آب و املاح، از این پدیده صرف نظر می شود. هدف از این تحقیق، تخمین پس ماند رطوبتی در مقیاس لایسیمتری در دو خاک لوم سیلی و لوم شنی و مقایسه مدل تجربی اسکات و مدل مفهومی معلم بود. سه لایسیمتر خاک دست نخورده (با قطر حدود ۸۰ سانتی متر و ارتفاع ۱۰۵ سانتی متر) از هر کدام از خاک های مورد مطالعه تهیه و حرکت آب در خاک برای شرایط مرمی مختلف مورد مطالعه قرار گرفت. هر یک از لایسیمترها به وسایل اندازه گیری مختلف برای اندازه های محدود و مدل های هیدرولیکی خاک با و بدون لحاظ پس ماند رطوبتی به روش معکوس توسط مدل WAVE و الگوریتم جستجوی مختصات چند گانه (GMCS-NMS) تعیین شدند. پس ماند رطوبتی با استفاده از مدل تجربی اسکات و مدل مفهومی معلم نیز مدل سازی شد. نتایج اندازه گیری شده و مدل سازی های عددی حاکی از وقوع پس ماند رطوبتی در هر دو خاک بود. تاثیر پس ماند رطوبتی در خاک های مورد مطالعه بر مولفه های مختلف حرکت آب در خاک (مکش ماتریک، رطوبت خاک و شدت جریان) متفاوت بود. منحنی مشخصه رطوبتی، مکش ماتریک و رطوبت خاک به شدت در دو خاک مورد مطالعه تحت تاثیر پس ماند رطوبتی قرار گرفتند. ولی شدت جریان خروجی در هر دو خاک نسبت به پس ماند رطوبتی حساسیت کمتری داشت. در مجموع، مدل تجربی اسکات بهتر از مدل مفهومی معلم در مطالعه پس ماند رطوبتی در دو خاک موردن آزمایش موفق بود.

واژه های کلیدی: بس ماند، طوبیت، مدا سازی، معکوس، مدا اسکات، مدا معلم، مدا

اگلوب موارد از تاثیر این پدیده چشمپوشی می‌شود. نتایج حاصل از پژوهش‌های آزمایشگاهی و صحرایی در برخی موقع بهطور قابل ملاحظه‌اء، با بکارگیر متفاوت هستند.<sup>(۴)</sup>

مقدمة

ثانویه (اسکن کننده) دارند. اگرچه این مدل‌ها به سادگی با مدل‌های عددی جریان آب در خاک تتفیق نمی‌شوند (۲۸). اسکات و همکاران (۴۹) مدل تجربی ساده‌ای را ارائه و آن را برای تحلیل پدیده پس‌ماند در خاک‌های مختلف، مناسب تشخیص دادند. سایر مدل‌های تجربی پس‌ماند با استفاده از اصل اساسی تشابه، منحنی مشخصه رطوبتی را ازتابع توزیع اندازه ذرات برآورد می‌کند (۱۵). برخی پژوهشگران مدل‌های مختلف پس‌ماند را مقایسه نمودند. وینه و همکاران (۶۰) در بین مدل‌های دو شاخه، مدل مفهومی معلم (۳۶) و مدل پارالاتر (۴۲) به عنوان بهترین گزینه برای پیش‌بینی پس‌ماند پیشنهاد نمودند. نتیجه‌گیری مشابهی توسط سی و کاچانسکی (۵۱) درباره مدل‌های تک شاخه‌ای صورت گرفت. اما در مقایسه‌ای که توسط چینز (۲۶) و

پس ماند رطوبتی خاک می تواند جریان آب و انتقال املاح را در خاک های غیرآشباع به شدت تحت تاثیر قرار دهد (۳، ۱۴، ۲۴، ۲۶). پدیده پس ماند رطوبتی در سیاری از تحقیقات آزمایشگاهی (۵۹) و (۳۳) و (۵۲) و (۶۰) و صحرایی (۴۱) و (۶۳) مشاهده و تاثیر آن توسط مدل های بنجربی و مفهومی مورد تحلیل قرار گرفته است (۲۱، ۴۶، ۵۲، ۲۶، ۱۴). تأثیرات شناخته شده پدیده پس ماند رطوبتی اغلب متناقض و خیلی واضح و روشن نیست. در خصوص ضرورت لحاظ پس ماند رطوبتی در روش های عددی، اتفاق نظر جمعی وجود ندارد. در ۴۰ سال گذشته، مدل های زیادی با مبنای تئوری و تجربی برای توصیف پس-ماند در منحنی مشخصه رطوبتی ارایه شده است (۱۲، ۱۳، ۱۶، ۱۷)، مانند در چهارمین بخش این مقاله آورده شد. اما به جز تعداد محدودی از مطالعات (۵۱) در

۱- دانشیار موسسه تحقیقات فنی و مهندسی کشاورزی

شبیه‌سازی پس‌ماند معرفی شده است، اما معمولاً پدیده پس‌ماند در مطالعه انتقال آب و املاح نادیده گرفته می‌شود. لذا هدف این مقاله، تخمین منحنی مشخصه آب خاک در شاخه تر و خشکشدنگی با مدل‌سازی معکوس در دو خاک لوم‌سیلیتی و لوم‌شنی و ارزیابی مدل تجربی اسکات و همکاران<sup>(۴۹)</sup> و مدل مفهومی معلم<sup>(۳۶)</sup> در تخمین پدیده پس‌ماند رطوبتی در خاک‌های مورد مطالعه است.

## مواد و روش‌ها

### آزمایش‌ها

جزئیات آزمایش‌ها توسط عباسی<sup>(۱)</sup> و عباسی و همکاران<sup>(۲)</sup> ارائه شده است. هدف اصلی از اجرای این آزمایش‌ها مطالعه فرآیندهای انتقال سولفات در خاک بوده است. فقط آن بخش از آزمایش‌ها که مرتبط با این تحقیق است، به طور خلاصه در ادامه ارائه شده است. شش لاپسیمتر از دو خاک مختلف در کشور بلژیک برای مطالعه جریان آب در خاک تهیه شد. سه لاپسیمتر لوم‌سیلیتی (با قطر ۷۹ سانتی‌متر و ارتفاع ۱۰۵ سانتی‌متر) در سال ۱۹۹۹ در منطقه Louvain-la-Neuve بلژیک تهیه شدند. در ادامه این لاپسیمترها L1، L2 و L3 نامیده می‌شوند. مواد مادری این خاک از نوع رس سیلیت‌دار غیرمطبق و خاک‌رخ آن به عنوان Haplic Luvisol شناخته شده است<sup>(۹)</sup>. چهار افق (Ap1 (0-10 cm)، Ap2 (10-30 cm)، Bt1 (30-50 cm) و Bt2 (>50 cm) در این خاک گزارش شده است.

سه لاپسیمتر دیگر (هر یک با قطر ۷۹ سانتی‌متر و ارتفاع ۱۰۰ سانتی‌متر) در سال ۲۰۰۰ در نزدیکی منطقه Bocholt در ناحیه‌ای با خاک لوم‌شنی تهیه شدند. از این لاپسیمترها در ادامه با نام P1، P2 و P3 نام برده می‌شود. سه افق (Ap (0-40 cm)، AC (40-60 cm) و P3 (>60 cm) در آن شناسایی شده است<sup>(۵۶)</sup>. برخی ویژگی‌های فیزیکی خاک لاپسیمترهای مورد مطالعه در جدول ۱ ارائه شده است. شکل ۱ نیز یکی از لاپسیمترهای مورد مطالعه را که به وسائل اندازه‌گیری مجهز شده است، نشان می‌دهد.

هر یک از لاپسیمترها به وسائل اندازه‌گیری مختلف نظری TDR<sup>(۱۲)</sup> پرور برای هر کدام از لاپسیمترها TDR<sub>1</sub> تا TDR<sub>12</sub> (برای اندازه‌گیری رطوبت خاک، تانسیومتر برای اندازه‌گیری مکش ماتریک خاک T<sub>1</sub> تا T<sub>4</sub>) و باران‌سنچ برای اندازه‌گیری شدت جریان خروجی مجهز گردیدند (شکل ۱). پرورهای دستگاه در سه ردیف با فواصل ۱۲۰ درجه در اعماق مختلف به طور افقی در لاپسیمترها نصب شدند. ۶ پرور در یک ردیف و در اعماق ۱۰، ۱۵، ۲۰، ۲۵، ۳۰، ۳۵ و ۴۰ سانتی‌متر و دو ردیف دیگر هر کدام با سه پرور در اعماق ۱۰، ۱۵ و ۲۰ سانتی‌متر (مجموعاً ۱۲ پرور در هر لاپسیمتر) نصب گردید.

(شکل ۱).

(۲۵) انجام گرفت، هیچ کدام از روش‌هایی که بهتر از دیگر روش‌ها شناخته شده بودند، حتی مدل‌های پیچیده با پیش از دو شاخه، مناسب تشخیص داده نشدند. جینز<sup>(۲۵)</sup> یک نمونه مدل خطی ساده را بهترین مدل برای پیش‌بینی پدیده پس‌ماند رطوبتی پیشنهاد نمود. اما مطالعات دیگر، مدل پارلانژ<sup>(۴۲)</sup> را که بر برخون‌بایی استوار است، بهترین مدل برای پیش‌بینی پس‌ماند رطوبتی خاک پیشنهاد کردند. برخی محققین دریافتند که مدل‌های ساده و پیچیده پس‌ماند معمولاً نتایج مشابهی ارایه می‌نمایند<sup>(۲۴) و (۵۰)</sup>. فام و همکاران<sup>(۴۳)</sup> در یک مطالعه جامع، ۲۸ مدل تجربی و مفهومی را در ۳۴ خاک مختلف ارزیابی نمودند. آنها نشان دادند که مدل تجربی فنگ و فرلاند<sup>(۱۰)</sup> برای منحنی‌های مرزی ترشیگی و مدل مفهومی معلم<sup>(۳۶)</sup> برای منحنی‌های ثانویه نتایج بهتری در مقایسه با سایر مدل‌ها ارایه نمودند. اسمیت<sup>(۵۳)</sup> تاکید کرد که پس‌ماند در لایه سطحی خاک بیشتر اهمیت دارد.

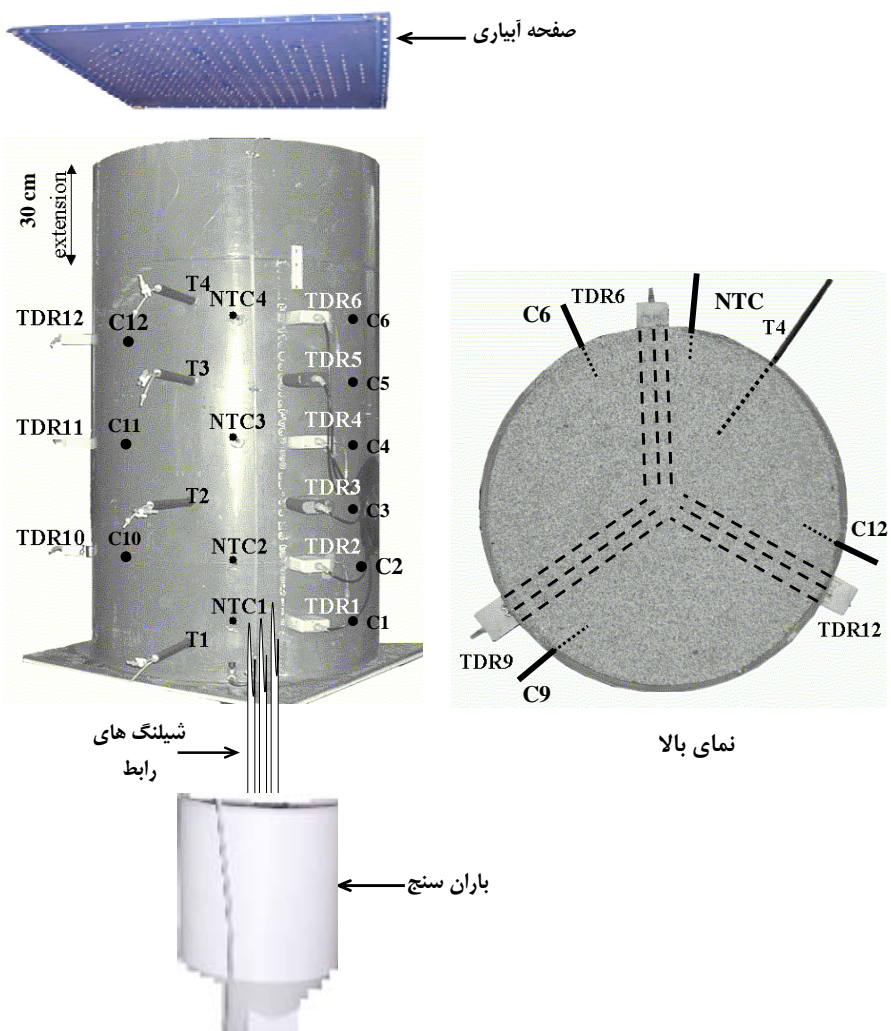
وریکن و همکاران<sup>(۵۹)</sup> اهمیت پدیده پس‌ماند رطوبتی و ناهمگنی خاک را در انتقال املاح مورد بررسی قرار دادند. آنها نشان دادند که در انتقال املاح، پدیده پس‌ماند رطوبتی ممکن است که به اندازه ناهمگنی خاک اهمیت داشته باشد. المالوگلو و دیامانتوپلوس<sup>(۸)</sup> نشان دادند که پس‌ماند رطوبتی تاثیر قابل توجهی در کاهش تلفات عمقی آب و افزایش راندمان کاربرد در آبیاری قطره‌ای داشت. برخی از محققین<sup>(۲۲) و (۲۳)</sup> نشان دادند که ناهمگنی در ویژگی‌های انتقال آب و املاح در مقیاس کوچک، باعث ایجاد رفتار پس‌ماندی در مقیاس بزرگ می‌شود. ژاوو و وانکلوستر<sup>(۲۲)</sup> در یک سری آزمایش‌های لاپسیمتری با شدت جریان‌های افزایشی، رفتار پس‌ماندی را مشاهده کردند. هنگامی که داده‌ها با مدل سه بعدی HYDRUS که قادر به لحاظ تغییرات کوچک مقیاس بود، شیوه‌سازی شدند، رفتار پس‌ماندی مشهودی حتی بدون لحاظ پس‌ماند رطوبتی در توابع هیدرولیکی خاک مشاهده شد<sup>(۲۳)</sup>. ناسز و همکاران<sup>(۳۸)</sup> تاثیر پس‌ماند را در دو خاک گلستانی (پیت و یوست درخت کاج<sup>(۱)</sup>) مورد مطالعه قرار دادند. نتایج آنها اهمیت پدیده پس‌ماند را در خاک پیت نشان داد. در حالی که در خاک دیگر تاثیر آن ناچیز بود.

برای تخمین پارامترهای جریان آب و املاح، روش‌های حل معکوس می‌تواند مورد استفاده قرار گیرد. زاچمن و همکاران<sup>(۶۶)</sup>، اولین محققانی بودند که روش حل معکوس را برای تعیین پارامترهای جریان غیراشباع بکار برdenد. امروزه پیشرفت‌های زیادی در تخمین ویژگی‌های خاک با استفاده از روش‌های معکوس صورت گرفته است<sup>(۶۱) و (۵۴، ۴۰، ۳۲، ۳۰)</sup>.

اگرچه اهمیت پدیده پس‌ماند رطوبتی در پژوهش‌های مختلف تاکید شده است<sup>(۴)، (۵)، (۱۱)، (۲۷)، (۳۱) و (۶۴)</sup> و مدل‌های مختلفی برای

جدول ۱- برخی ویژگی‌های فیزیکی خاک لایسیمترهای مورد مطالعه

pH	جرم مخصوص (g/cm <sup>3</sup> )	مواد آلی (%) ظاهری	افق	درصد ذرات خاک شن	بافت	عمق (cm)	لایسیمتر
				رس سیلت	رس خاک		
۶/۱	۱/۴۶	۰/۶۸	AP1	۱۰/۵	۷۵/۵	۱۴	لومسیلتی ۰-۱۰
۶/۱	۱/۵۱	۰/۳۱	AP2	۱۲	۷۳	۱۵	لومسیلتی ۱۰-۳۰
۶/۱	۱/۵۱	۰/۳۱	Bt1	۹	۷۳	۱۸	لومسیلتی ۳۰-۵۰
۶/۱	۱/۵۱	۰/۲۸	Bt2	۹/۵	۷۲	۱۸/۵	لومسیلتی ۵۰-۱۰۰
۵/۳	۱/۵۰	۲/۰۷	AP	۸۰	۱۷	۴	لومشنی ۰-۴۰
۵/۱	۱/۵۰	۰/۴۵	AC	۷۶	۱۹	۵	لومشنی ۴۰-۶۰
۵/۰	۱/۵۰	۰/۲۴	C	۷۳/۵	۲۲/۵	۴	لومشنی ۶۰-۱۰۰



شکل ۱- نمایی از یکی از لایسیمترهای آزمایشی مججهز به وسایل اندازه‌گیری مختلف

یکنواخت جریان آب ورودی به لایسیمترها از یک مخزن باران‌ساز استفاده گردید (شکل ۱). این وسیله شامل یک مخزن مکعبی به ابعاد

پروب‌ها از نوع سه شاخه استیل، فواصل شاخه ۲/۵ سانتی‌متر با طول ۴۲/۵ سانتی‌متر و قطر ۵/۰ سانتی‌متر بودند. برای توزیع

نگرفت. بلکه بخشی از داده‌ها که شامل سیکل‌های آبیاری و زهکشی (تر و خشک) بود و مدل بیشترین حساسیت را به پارامترهای مجھول داشت، در بهینه‌سازی مورد استفاده قرار گرفت. بنابراین، برای کاهش زمان محاسبات، بیشتر داده‌های مربوط به آزمایش‌های با شدت جریان زیاد مورد استفاده قرار نگرفت. در مجموع همه داده‌های مربوط به شدت جریان‌های کم و حدود ۲۵ درصد داده‌های مربوط به شدت جریان‌های زیاد مورد استفاده قرار گرفت.

**پس‌ماند رطوبتی در ویژگی‌های هیدرولیکی خاک**  
منحنی مشخصه رطوبتی خاک ( $\theta(h)$ ) با استفاده از معادله وان-گنوتختن (۵۵) و هدايت هیدرولیکی غیراشباع ( $K(h)$ ) با استفاده از مدل کاپیلاری معلم (۳۵) به صورت زیر توصیف شدن:

$$\theta(h) = \theta_r + \frac{\theta_s - \theta_r}{(1 + |\alpha h|^n)^m} \quad (1)$$

$$K(h) = K_{ss}^{e0.5} [1 - (1 - S_e^{e1/m})^m]^2 \quad (2)$$

که در آن،  $\theta_r$  و  $\theta_s$  به ترتیب رطوبت باقی‌مانده خاک ( $L^3 L^{-3}$ ) و رطوبت اشباع ( $L^3 L^{-3}$ ) می‌باشد.  $S_e$  رطوبت موثر (بدون واحد)،  $n$  (بدون واحد)،  $m=1-1/n$  (بدون واحد) و  $\alpha$  ( $L^{-1}$ ) پارامترهای تجربی هستند.

نخست، پنج پارامتر هیدرولیکی خاک در منحنی‌های مشخصه رطوبتی و هدايت هیدرولیکی ( $\theta_r, \theta_s, n, \alpha, K_{ss}$ ) بدون در نظر گرفتن پس‌ماند رطوبتی با استفاده از همه داده‌های مرحله آبیاری و زهکشی تخمین زده شدند. سپس، پس‌ماند در منحنی مشخصه رطوبتی با استفاده از مدل تجربی اسکات و همکاران (۴۹) در نظر گرفته شد. از این پس، از این مدل به نام مدل اسکات یاد می‌شود. شبیه‌سازی پس‌ماند توسط این مدل به دو شاخه اصلی پس‌ماند (منحنی‌های خشک‌شدنی و ترشی) اصلی (نیاز دارد. این دو منحنی با استفاده از بردارهای  $\theta_r^d, \theta_s^d, \alpha^d, n^d, \Theta_{ss}^w$  و  $\alpha^w, n^w, \theta_r^w, \theta_s^w$ ) نمایش داده می‌شوند. بالا نویس‌های  $d$  و  $w$  به ترتیب نشان‌دهنده منحنی‌های خشک‌شدنی و ترشی می‌باشد. در این تحقیق فرض شده است که پس‌ماند در تابع هدايت هیدرولیکی خاک ناچیز است (۲۸، ۱۳). در استفاده از مدل اسکات، فرض شد که حلقه پس‌ماند اصلی در رطوبت باقیمانده  $\theta_r^d = \theta_s^d$  و رطوبت اشباع  $\theta_s^d = \theta_s^w$  بسته است. لذا، در این حالت ۶ پارامتر مجھول دو منحنی تر و خشک‌شدنی ( $\theta_r^d, \theta_s^d, n^d, n^w, \alpha^d, \alpha^w, K_{ss}$ )، باید با مدل‌سازی معکوس بهینه‌سازی شود. به منظور کاهش تعداد پارامترهای تخمینی و به دلیل حساسیت کم  $\theta_r$ ، این پارامتر در بهینه‌سازی لحاظ نشد و مقدار آن همانند حالت بدون پس‌ماند در نظر گرفته شد. همان‌طور که پیش‌تر گفته شد، بهینه‌سازی این پارامترها بسیار زمان بر بود. لذا، داده‌های مرحله آبیاری (تر شدن) و مرحله زهکشی (خشک شدن) از یکدیگر تفکیک

طول، عرض و ارتفاع به ترتیب  $80 \times 80 \times 80$  سانتی متر بود. در قسمت تحتانی مخزن ۲۸۰ سوزن پزشکی به قطر ۵/۰ میلی‌متر در شبکه‌ای ۵ سانتی تعبیه شدند. قسمت فوقانی مخزن نیز با استفاده از شیلنگ رابط به یک پمپ کوچک متصل گردید. بدین ترتیب هنگام انجام آزمایش‌ها با تنظیم پمپ برای یک شدت جریان ورودی ثابت، آب به طور یکنواخت توسط سوزن‌ها از قسمت تحتانی مخزن روی سطح لایسیمترها پخش گردید.

پس از آبشویی همه لایسیمترها با محلول ۱ dS/m ۱ کلرايد پتانسیم و پس از رسیدن به شرایط رطوبتی و آبشویی پایدار، چهار آزمایش آبشویی در شرایط غیراشباع و پایدار با دو شدت جریان مختلف (زیاد و کم)، ابتدا دو آزمایش با کلرايد پتانسیم و سپس دو آزمایش دیگر با استفاده از سولفات پتانسیم در لایسیمترها اجراء گردید. کلرايد پتانسیم و سولفات پتانسیم در آب آبیاری حل و در آزمایش‌های با شدت جریان زیاد به مدت یک روز و در آزمایش‌های با شدت جریان کم به مدت سه روز به لایسیمترها تزریق شدند. در لایسیمترهای مورد مطالعه، ابتدا آزمایش‌های با شدت جریان کم و سپس آزمایش‌های با شدت جریان زیاد اجراء گردید. مقادیر شدت جریان‌های کم بین ۱/۶۵ تا ۹/۹ و مقادیر شدت جریان‌های زیاد از ۱۴/۰ تا ۲۸/۶۱ سانتی‌متر در روز متغیر بود. پس از از آزمایش، آبشویی با محلول ۱ کلرايد پتانسیم تا رسیدن به شرایط رطوبتی و آبشویی همگام ادامه یافت. در زمان اجرای آزمایش‌ها، رطوبت خاک با استفاده از دستگاه TDR به طور خودکار هر ۲۰ دقیقه یکبار و مکش ماتریک خاک با تانسیومتر در اعماق ۱۰، ۲۵ و ۵۵ سانتی‌متر به طور روزانه در موقع تعییر شدت جریان‌ها و به طور هفتگی در صورت ثابت بودن شدت جریان قرائت شد. شدت جریان خروجی نیز به طور خودکار با باران سنج اندازه‌گیری شد. منحنی‌های مشخصه رطوبتی در شرایط آبیاری و زهکشی (تر و خشک شدن) در عمق‌های مختلف لایسیمترها با استفاده از داده‌های اندازه‌گیری شده به وسیله TDR و تانسیومتر تعیین شدند. واسنجی پروب‌های TDR توسط عباسی و همکاران (۲) انجام شده است. آنها خطای نسبی بیلان آب را برای پروب‌های مورد استفاده کمتر از ۵ درصد گزارش نمودند.

اجرای چهار آزمایش پیوسته در لایسیمترهای مورد مطالعه حدود ۱۰ ماه طول کشید. بهینه‌سازی پارامترهای موردنیاز با استفاده از الگوریتم<sup>۱</sup> GMCS NMS به ویژه برای آزمایش‌های با شدت جریان زیاد، وقت‌گیر بود. برای تسريع در محاسبات بهینه‌سازی، همانند ورات و همکاران (۶۲) تمامی داده‌ها در فرآیند بهینه‌سازی مورد استفاده قرار

1- Global multilevel coordinate search algorithm combined with the local Nelder-Mead simplex algorithm

### مدل‌سازی معکوس

در مدل‌سازی معکوس پارامترهای مدل به گونه‌ای بهینه می‌شوند که یک تابع هدف اختلاف بین خروجی‌های مدل و داده‌های اندازه‌گیری شده را حداقل نماید. تابع هدف (OF) مورد استفاده در الگوریتم بهینه‌سازی به صورت زیر تعریف شده است:

$$OF(q, b) = \sum_{j=1}^m v_j \sum_{i=1}^k w_{ij} [q_j^*(z, t_i) - q_j(z, t_i, b)]^2 \quad (4)$$

که در آن،  $k$  تعداد مشاهدات برای زمین سری از داده‌های اندازه‌گیری شده (رطوبت خاک، مکش ماتریک، شدت جریان، ...،  $q_j^*(z, t_i)$ ) و عمق  $z$  (مقادیر داده‌های اندازه‌گیری شده در زمان  $t_i$  و  $b$  = مقادیر  $q_j(z, t_i, b)$  پیش‌بینی شده توسط مدل که با بردار پارامترهای بهینه‌سازی  $\theta = (\theta_s, \theta_r, \dots)$  به دست آمده‌اند،  $w_{ij}$  و  $v_j$  فاکتورهای وزنی هستند.

مقدار  $w_{ij}$  برای تمامی داده‌ها برابر با ۱ در نظر گرفته شده است. فاکتور  $v_j$  با توجه به تعداد داده‌های اندازه‌گیری شده ( $k$ ) و انحراف معیار ( $\sigma$ ) داده‌های اندازه‌گیری شده تعیین می‌شود (۲۹). مقادیر اندازه‌گیری شده رطوبت خاک، مکش ماتریک و شدت جریان خروجی برای بهینه کردن تابع هدف بکار برد شدند. کمینه کردن تابع هدف توسط الگوریتم جستجوی چندسطحی عمومی (GMCS) (۲۰) صورت گرفت.

لامبوت و همکاران (۳۰) الگوریتم GMCS-NMS را برای مطالعه جریان آب در ناحیه غیراشباع پیشنهاد و ارزیابی مثبتی از این الگوریتم در تخمین ویژگی‌های هیدرولیکی خاک ارایه نمودند. جزئیات بیشتر در مورد کاربرد الگوریتم GMCS-NMS در مدل‌سازی معکوس ویژگی‌های هیدرولیکی خاک توسط ریتر و همکاران (۴۵) و (۴۶) و لامبوت و همکاران (۲۹) ارائه شده است.

در این تحقیق برای ارزیابی پارامترهای تخمینی به روش معکوس از شاخص‌های ضریب تعیین ( $R^2$ ، ریشه میانگین مربع خطای  $(RMSE)$ ، مجموع مربع خطای  $(SSQ)$ ) و حدود اطمینان ۹۵ درصد استفاده شد. همین‌طور، برای مقایسه کمی مدل‌های اسکات و معلم در تخمین رطوبت و مکش ماتریک خاک و شدت جریان خروجی از ضریب تعیین و مجموع خطای مطلق  $(SAD)$  استفاده شد (۴۳).

### نتایج و بحث

بهینه‌سازی پارامترهای هیدرولیکی خاک برای ۶ لایسیمتر مورد مطالعه بدون در نظر گرفتن پس‌ماند رطوبتی همراه با مقادیر  $R^2$  و حدود اطمینان ۹۵ درصد در جدول ۲ ارائه شده است. مقادیر  $R^2$  و  $RMSE$  بین مقادیر اندازه‌گیری (رطوبت، مکش ماتریک و

گردید. ابتدا ۴ پارامتر ( $\theta_s^w, \theta_r^w, \alpha^w, K_s$ )، برای منحنی اصلی مرطوب شدگی با استفاده از فقط داده‌های آبیاری بهینه‌سازی شدند. در گام بعدی ۲ پارامتر دیگر ( $\alpha^d, \theta_r^d$ )، با استفاده از فقط داده‌های فاز زهکشی بهینه شدند.

علاوه بر آن، مدل مفهومی معلم (۳۶) نیز به خاطر سادگی برای لحاظ پس‌ماند رطوبتی در لایسیمترهای مورد مطالعه به کار گرفته شد. در این مدل، منحنی خشک شدگی اصلی مطابق رابطه زیر از منحنی مرطوب شدگی اصلی استخراج می‌شود:

$$\theta^d(h) = (2\theta_s^w - \theta^w(h) - \theta_r^w) \left( \frac{\theta^w(h) - \theta_r^w}{\theta_s^w - \theta_r^w} \right) + \theta_r^w \quad (5)$$

که در آن،  $\theta^d(h)$  و  $\theta^w(h)$  به ترتیب مقادیر رطوبت منحنی ترشدگی و خشک شدگی اصلی در مکش‌های مختلف ( $h$ ) است. برای استفاده از مدل معلم، نیاز به یکی از شاخه‌های اصلی خشک شدگی و یا ترشدگی منحنی مشخصه رطوبتی است. این فرض مدل را ساده ولی کاربرد آن را محدودتر می‌کند. از پارامترهای تخمینی در گام اول مرحله قبل به عنوان پارامترهای منحنی ترشدگی استفاده شد. لذا، در این مطالعه، مدل‌های پس‌ماند اسکات و معلم فقط در منحنی خشک شدگی اصلی متفاوت بودند. همان‌طور که پیش‌تر گفته شد، از این مدل به خاطر سادگی آن استفاده شد. به منظور مقایسه، پارامترهای هیدرولیکی خاک با نرم‌افزار Rosetta (۴۸) با استفاده از درصدهای ذرات خاک (شن، رس و سیلت) و جرم مخصوص ظاهری خاک نیز برآورد شدند.

### WAVE مدل

در این تحقیق، مدل عددی WAVE<sup>۱</sup> در محیط MATLAB برای شبیه‌سازی حرکت آب در خاک مورد استفاده قرار گرفت. در این مدل، معادله ریچاردز به روش اختلافات محدود حل شده است. عملکرد مدل WAVE در مقایسه با سایر مدل‌های عددی و تحلیلی برای بررسی جریان آب در خاک در یک مقایسه جامع انجام شده است (۵۸).

رطوبت خاک که با دستگاه TDR در لایه‌های مختلف خاک اندازه‌گیری شده بود، قبل از شروع آزمایش‌ها به عنوان شرایط اولیه برای مدل معرفی شد. به عنوان شرایط مرزی بالادست، شدت جریان وابسته به زمان در طول آزمایش‌ها و در مرحله زهکشی، شدت جریان صفر تعريف شد. مکش ماتریک ۸۰ سانتی‌متر برای مرز پایین دست استفاده شد. برای سهولت و اجتناب از محدودیت‌های ذاتی حل معکوس (کاهش تعداد پارامترهای تخمینی)، نیم‌رخ خاک همگن فرض شد.

1- Water and Agrochemicals in the soil, crop and Vadose Environment

لایسیمترهای خاک لومسیلتی بودند. مقادیر تخمین‌زده شدهی  $n$  با استفاده از مدل اسکات تقریباً در تمام لایسیمترها بزرگ‌تر از حالت بدون پس‌ماند بودند. در برخی لایسیمترها  $\alpha^d$  بزرگ‌تر از مقادیر  $\alpha^w$  (برای مثال لایسیمترهای L3، P2، P1) بودند. دلیل اصلی آن به ناهمنگی خاک لایسیمترها به ویژه لایسیمترهای خاک لومشنسی ارتباط دارد. رفتار پس‌مانندی در مقیاس‌های بزرگ در نتیجه‌ی ناهمنگی ویژگی‌های انتقال آب و املاح در مقیاس کوچک‌تر قبل از گزارش شده است (۲۳). بخشی از دلایل پدیده فوق نیز به خاطر آن است که دو مرحله آبیاری و زهکشی (تر و خشک) به صورت مستقل بهینه‌سازی شدند. همانطور که قبلاً اشاره شد، نخست ۴ پارامتر ( $\theta_s^w$ ,  $\theta_s^d$ ,  $K_s$ ) برای منحنی مرتبط‌شدنگی اصلی با استفاده از فقط داده‌های مرحله آبیاری (تر شدگی) بهینه شدند و در گام بعدی ۲ پارامتر ( $n^d$ ,  $\alpha^d$ ) با استفاده از فقط داده‌های مرحله زهکشی (خشک‌شدنگی) برآورد شدند.

مشابه با مدل اسکات، پارامترهای هیدرولیکی خاک برای شاخه اصلی خشک‌شدنگی با استفاده از مدل معلم (جدول ۴) در لایسیمترهای خاک لومشنسی کوچک‌تر و در لایسیمترهای خاک لومسیلتی در مقایسه با مقادیری که برای حالت بدون پس‌ماند به دست آمده بود، بزرگ‌تر بودند. مقادیر  $\theta_s^d$  بهینه شده برای مدل معلم (جدول ۴) بزرگ‌تر از مقادیر تخمینی برای منحنی مرتبط‌شدنگی از مدل اسکات بود (جدول ۳). این نتایج با یافته‌های هاپمنز و دان (۱۸) که نتیجه گرفت ( $\theta_s^d > \theta_s^w$ )، سازگار بود. برای تمامی آزمایش‌ها، مدل معلم در مقایسه با مدل اسکات و سناریوی بدون پس‌ماند، مقادیر بیشتری برای  $R^2$  ارایه نمود (جدول ۴). منحنی‌های اندازه‌گیری شده مشخصه رطوبتی (تر و خشک‌شدنگی اصلی) در لایسیمترهای خاک لومشنسی در شکل ۲ ارایه شده‌اند. بهترین برآورد به داده‌های منحنی ترشددگی نیز در شکل ۲ نشان داده شده است.

شدت جریان خروجی) و بهینه‌سازی شده توسط مدل را نشان می‌دهد. حدود اطمینان نیز بیانگر درجه قطعیت پارامترهای تخمینی است. همان‌طور که انتظار می‌رفت، تغییرات نسبتاً زیادی در همه پارامترهای تخمین‌زده شده در دو نوع خاک مشاهده می‌شود. اما پارامترهای بهینه‌سازی شده برای خاک‌های مشابه، در محدوده مقادیر گزارش شده در منابع است (۴۷ و ۶۵). در لایسیمترهای لومشنسی، مقادیر  $n$  و  $\alpha$  به ویژه  $K_s$  در لایسیمتر P2 از مقادیر بزرگ‌تری برخوردار بودند. پارامترهای بهینه‌سازی شده برای لایسیمترهای P1 و P3 (به Rosetta  $\theta_s$  در P1) بسیار مشابه آن پارامترهایی بود که توسط جز (۴۸) بدست آمده بود. به طور مشابه، پارامترهای بهینه‌سازی شده برای خاک لومسیلتی اساساً از لایسیمترهای دیگر متفاوت بود (جدول ۲). اما تغییرات پارامترهای تخمینی نسبتاً کوچک‌تر از مقادیر مشابه در خاک لومشنسی بود. مورد اخیر احتمالاً به خاطر آن است که خاک لومسیلتی همگن‌تر از خاک لومشنسی بود. پارامترهای هیدرولیکی خاک در لایسیمترهای لومسیلتی قدری بزرگ‌تر از مقادیر پارامترهایی بود که با Rosetta تخمین‌زده شده بود. تغییرات زیاد ویژگی‌های هیدرولیکی خاک تا حدودی طبیعی و بخشی از آن ذاتی و به دلیل اندازه بزرگ لایسیمترهای مورد مطالعه است. به هر حال، تغییرات ویژگی‌های هیدرولیکی خاک‌های مورد مطالعه به دلیل عملکرد نامناسب الگوریتم بهینه‌سازی نیست. زیرا، مقادیر شاخص‌های آماری ارایه شده به ویژه  $R^2$  و حدود اطمینان ۹۵ درصد (جدول ۲) دلالت بر کارایی مناسب الگوریتم بهینه‌سازی در تخمین پارامترهای مورد نظر در دو خاک مورد مطالعه دارد. مقادیر  $R^2$  در لایسیمترهای مختلف بین ۰/۸۶۶ تا ۰/۹۸۹ تغییر نمود.

پارامترهای هیدرولیکی بهینه شده بوسیله الگوریتم بهینه‌سازی برای شاخه‌های اصلی پس‌ماند مدل اسکات در جدول ۳ ارائه شده است. با مقایسه این نتایج با سناریوی بدون پس‌ماند (جدول ۲)، مقادیر  $K_s$ ،  $\theta_s$  و  $\alpha$  در لایسیمترهای لومشنسی کمتر از مقادیر مشابه در

جدول ۲- پارامترهای بهینه‌سازی شده هیدرولیکی خاک در حالت بدون پس‌ماند رطوبتی و ویژگی‌های هیدرولیکی خاک از مدل Rosetta (۴۸)

لایسیمتر	$\theta_r$ (cm <sup>3</sup> cm <sup>-3</sup> )	$\theta_s$ (cm <sup>3</sup> cm <sup>-3</sup> )	$\alpha$ (cm <sup>-1</sup> )	n (-)	$K_s$ (cmmmin <sup>-1</sup> )	RMSE (-)	$R^2$ (-)
P1	۰/۰۶۵۵±۰/۰۱۱	۰/۵۳۵۹±۰/۰۱۳	۰/۰۵۳۳±۰/۰۰۳۶	۱/۷۳۱±۰/۰۰۵۹	۰/۰۵۱۲±۰/۰۰۷۱	۰/۰۹۰	۰/۸۸۸
P2	۰/۱۲۸۵±۰/۰۰۵	۰/۴۳۷۲±۰/۰۰۹	۰/۰۸۰۱±۰/۰۰۱۶	۱/۶۱۴۵±۰/۰۲۱۰	۰/۲۴۰۹±۰/۰۰۸۱	۰/۰۷۶	۰/۹۱۰
P3	۰/۰۲۹۴±۰/۰۰۳۶	۰/۴۴۹۶±۰/۰۱۳۹	۰/۰۳۷۸±۰/۰۰۱۴	۱/۶۱۵۸±۰/۰۲۳۶	۰/۰۶۲۱±۰/۰۰۲۶	۰/۱۱۵	۰/۸۶۶
Rosetta	۰/۰۳۵۲	۰/۴۳۹۰	۰/۰۴۴۴	۱/۶۸۷۷	۰/۰۶۸۱	-	-
L1	۰/۱۱۲۶±۰/۰۰۳۴۲	۰/۴۰۴۲±۰/۰۰۷۵	۰/۰۱۲۷±۰/۰۰۲۲	۱/۳۱۴۳±۰/۰۷۸۳	۰/۰۳۰۱±۰/۰۱۴۵	۰/۰۰۴	۰/۹۸۹
L2	۰/۱۰۷۲±۰/۰۰۰۵۵	۰/۴۶۲۷±۰/۰۰۰۵۹	۰/۰۳۰۸±۰/۰۰۰۷	۱/۴۶۰۴±۰/۰۲۵۵	۰/۰۲۳۴±۰/۰۰۰۶	۰/۰۵۴	۰/۹۷۲
L3	۰/۰۷۶۶±۰/۰۰۰۶۰	۰/۴۸۲۷±۰/۰۲۱۱	۰/۰۲۲۸±۰/۰۰۰۸	۱/۵۳۸۴±۰/۰۷۱۲	۰/۰۳۶۷±۰/۰۰۲۲	۰/۰۰۷	۰/۹۴۹
Rosetta	۰/۰۶۵۴	۰/۴۰۶۷	۰/۰۰۵۷	۱/۶۳۱۶	۰/۰۰۹۶۷	-	-

جدول ۳ - پارامترهای بهینه‌سازی شده هیدرولیکی خاک در بافت‌های مختلف برای شاخه‌های اصلی تر و خشک‌شدگی مدل اسکات

لایسیمتر	$\theta_s$ (cm <sup>3</sup> cm <sup>-3</sup> )	$\alpha$ (cm <sup>-1</sup> )	n	K <sub>s</sub> (cm min <sup>-1</sup> )	RMSE	R <sup>2</sup> (-) (-)
P1: wetting Drying	.4682±0.29	.153±0.008	2/599±0.1259	.0074±0.007	.097	.933
P2: wetting drying	.418±0.011	.0719±0.007	1/612±0.0043	.0754±0.0053	.132	.910
P3: wetting drying	.3977±0.0141	.0346±0.0015	1/5689±0.0360	.0226±0.005	.190	.847
L1: wetting drying	.4777±0.016	.1234±0.004	1/4957±0.0046	.0877±0.004	.039	.992
L2: wetting drying	.5636±0.016	.101±0.008	1/3317±0.0747	.098±0.006	.128	.987
L3: wetting drying	.5237±0.065	.036±0.005	1/8351±0.141	.05±0.0032	.046	.986

مقادیر  $\theta_s$  برای لایسیمترها همانند مقادیر جدول ۲ و  $\theta_s = \theta_s^d$  در نظر گرفته شد.

جدول ۴ - پارامترهای بهینه‌سازی شده هیدرولیکی خاک در بافت‌های مختلف برای شاخه اصلی خشک‌شدگی در مدل معلم

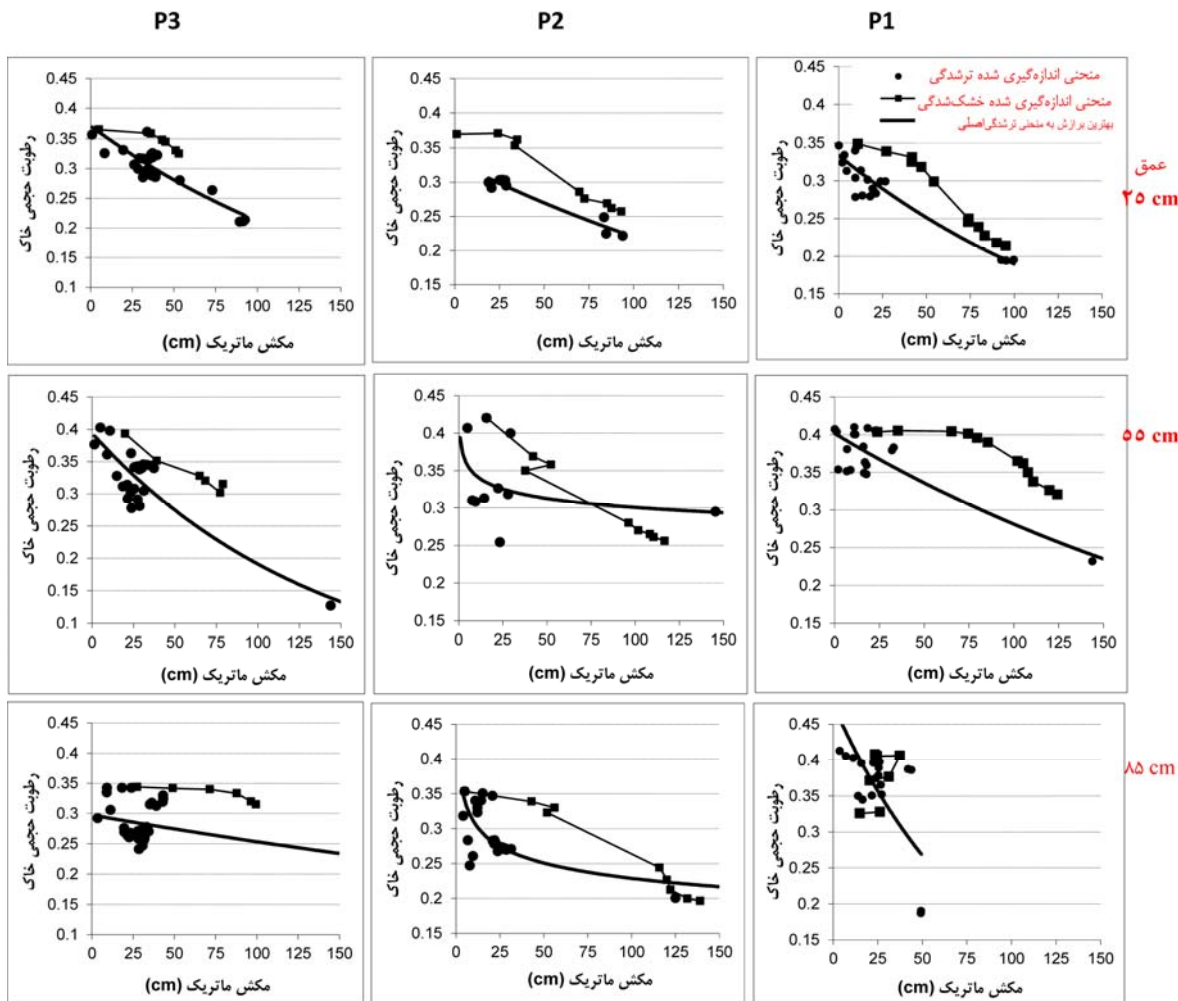
لایسیمتر	$\theta_s^d$ (cm <sup>3</sup> cm <sup>-3</sup> )	$\alpha^d$ (cm <sup>-1</sup> )	n <sup>d</sup> (-)	SSQ (-)	R <sup>2</sup> (-)
P1	.4728±0.0010	.006±0.001	2/6868±0.015	.0009	.9997
P2	.4229±0.006	.0299±0.003	1/5834±0.018	.0001	.9999
P3	.4233±0.006	.0304±0.004	1/5761±0.037	.0001	.9999
L1	.4821±0.008	.0415±0.0045	1/4645±0.013	.0002	.9998
L2	.5721±0.010	.0460±0.004	1/6937±0.024	.0003	.9999
L3	.5310±0.009	.0150±0.001	1/8200±0.038	.0005	.9998

مقادیر  $\theta_s^d$  برای لایسیمترها همانند مقادیر جدول ۲ در نظر گرفته شد.

پس‌ماند را نشان می‌دهد که در این تحقیق به دلیل زیاد شدن تعداد پارامترهای تخمینی و محدودیت روش‌های حل معکوس میسر نشد. منحنی‌های مشخصه رطوبتی تر و خشک‌شدگی اصلی با استفاده از مدل‌های اسکات و معلم با حالت بدون پس‌ماند برای دو نمونه از لایسیمترها (P1 و L1) در شکل ۳ مقایسه شده‌اند. این منحنی‌ها برای کل خاک‌های مورد مطالعه است. رفتار پس‌ماندی در هر دو خاک کاملاً مشهود است. هرچند، اختلاف بین شاخه‌های اصلی خشک‌شدگی و مرطوب‌شدگی در خاک لومشنسی قدری بیشتر از خاک لومسیلی بود. منحنی‌های مشخصه رطوبتی خاک برای شرایط بدون پس‌ماند بعضاً خارج از محدوده منحنی‌های خشک و مرطوب‌شدگی اصلی بودند. دلیل اصلی آن ثابت فرض نکردن  $\theta_s$  در ستاربوهای

در منحنی‌های ترشدگی، رطوبت و مکش ماتریک معادل در ابتدای آزمایش‌ها هنگام اضافه کردن آب (آبیاری) به خاک خشک اندازه‌گیری شدند. منحنی‌های خشک‌شدگی نیز در انتهای آزمایش‌ها هنگام قطع جریان ورودی به لایسیمترها اندازه‌گیری گردیدند. مقایسه منحنی‌های خشک و ترشدگی، رفتار پس‌ماندی در همه لایه‌های خاک لومشنسی را به وضوح نشان می‌دهد. این رفتار در خاک لومسیلی به دلیل این که منحنی‌های ترشدگی به طور کامل اندازه‌گیری نشده بودند، به روشنی خاک لومشنسی نبود (نتایج نشان داده نشدن). به دلیل تغییرات مکانی، منحنی‌های مشخصه رطوبتی لایه‌های مختلف وقتی با هم در یک شکل ترسیم می‌شدند، رفتار پس‌ماندی به سادگی قابل مشاهده نبود. این مهم اهمیت بررسی همزمان ناهمگنی و پدیده

مختلف بود. تفاوت منحنی‌های مشخصه رطوبتی در رطوبت باقیمانده ( $\theta_r$ ) کمتر بود.



شکل ۲- مقایسه منحنی‌های اندازه‌گیری شده مشخصه رطوبتی (شاخه‌های اصلی تو و خشکشدنی) در عمق‌های مختلف خاک لومشنی

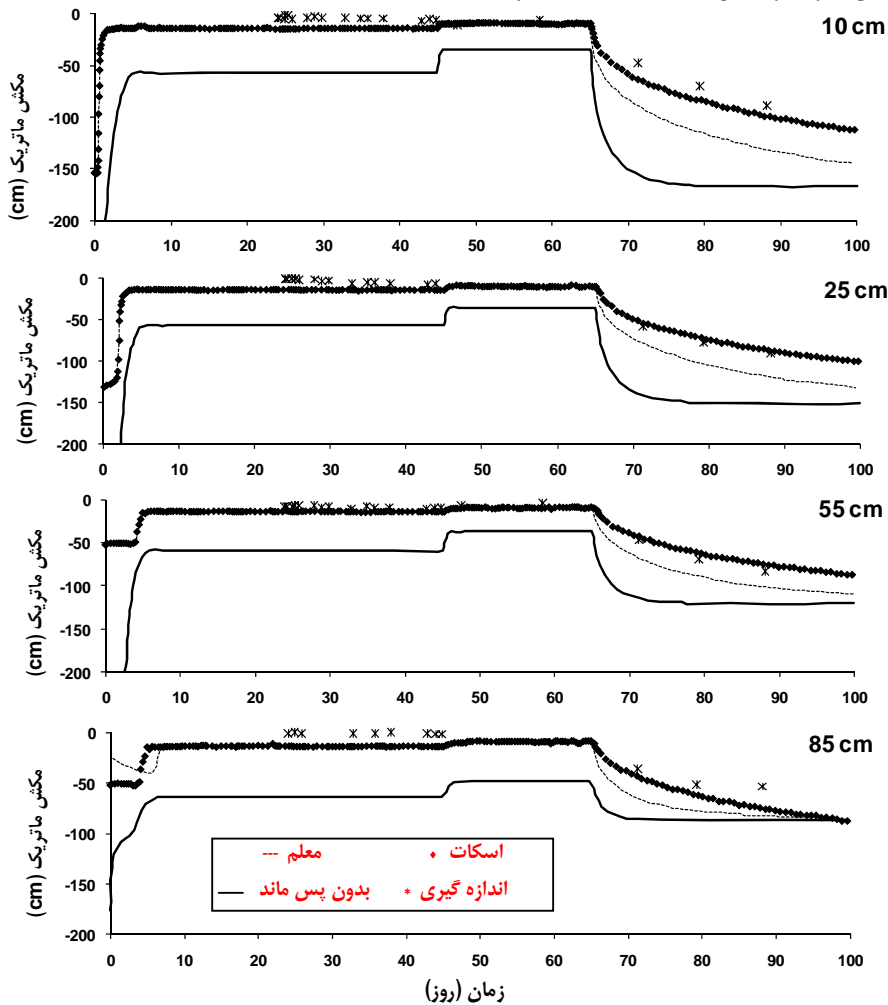
اسکات بود (شکل ۵). تفاوت نتایج دو مدل در مرحله زهکشی بیشتر بود. مدل اسکات و سناریوی بدون پس‌ماند، نتایج مشابهی ارایه نمودند. ملاحظه می‌شود که نتایج دو مدل در دو خاک مورد مطالعه قدری متفاوت بود. رفتار مشابهی نیز قیلاً توسط برادران و همکاران (۵) با استفاده از مدل پس‌ماند پارالائز (۴۲) گزارش شده است. بدین ترتیب که نتایج مدل پارالائز (۴۲) برای پیش‌بینی پس‌ماند در خاک‌های مختلف، متفاوت بود.

همان‌طور که قبلاً هم اشاره شد، در این مطالعه ناهمگنی خاک به دلیل محدودیت ذاتی روش‌های حل معکوس در تخمین همزمان تعداد اندکی پارامتر در نظر گرفته نشد. تخمین پارامترهای موردنظر به تفکیک لايه‌های مختلف نیم‌رخ خاک می‌توانست در بهبود نتایج

مکش‌های ماتریک اندازه‌گیری و شبیه‌سازی شده با مدل‌های اسکات و معلم برای لایسیمتر L1 در شکل ۴ مقایسه شده‌اند. این منحنی‌ها شامل همه داده‌های مورد استفاده در مرحله آبیاری و زهکشی است. به طور کلی، هر دو مدل مورد استفاده بهتر از حالت بدون پس‌ماند مکش‌های ماتریک خاک را برآورد نمودند. نتایج دو مدل در مرحله آبیاری (ترشدن) مشابه بود. ولی در مرحله زهکشی (خشکشدن) مدل اسکات در همه لایه‌های خاک با دقت بیشتری مکش‌های ماتریک را برآورد نمود (شکل ۴). یک نمونه از مقایسه رطوبت‌های اندازه‌گیری و شبیه‌سازی شده با دو مدل مورد استفاده در شکل ۵ ارایه شده است. برخلاف خاک لومسیلتی، در خاک لومشنی نتایج مدل معلم در برآورد رطوبت خاک قدری بهتر از نتایج مدل

است (۳۹).

مدل‌سازی موثر باشد. برخی پژوهش‌های قبلی نشان دادند که تخمین پارامترهای هیدرولیکی خاک در لایه‌های مختلف خاک‌های مطبق، تصویر بهتری از پیش‌بینی رطوبت و مکش ماتریک خاک ارایه نموده



شکل ۴- مقایسه مدل‌های معلم و اسکات با حالت بدون پس‌ماند در تخمین مکش ماتریک خاک در لایه‌های مختلف لایسیمتر L1

جریان خروجی در لایسیمترهای مورد مطالعه در جدول ۵ ارایه شده است. در این مقایسه از شاخص‌های ضریب تعیین و مجموع خطای مطلق (SAD) استفاده شده است. مقادیر  $R^2$  و SAD در خاک‌های مختلف در جدول ۵ آمده است. در خاک لومسیلیتی، مدل اسکات بهتر از مدل معلم مقادیر رطوبت خاک، مکش ماتریک و شدت جریان‌های خروجی را برآورده نمود. هر دو مدل به نسبت از دقت کمتری در خاک لومشنسی برخوردار بودند. در خاک لومشنسی، نتایج مدل معلم در برآورد رطوبت‌های خاک قدری بهتر از مدل اسکات بودند. ولی در برآورد مکش ماتریک و شدت جریان خروجی هر دو مدل از دقت یکسانی برخوردار بودند.

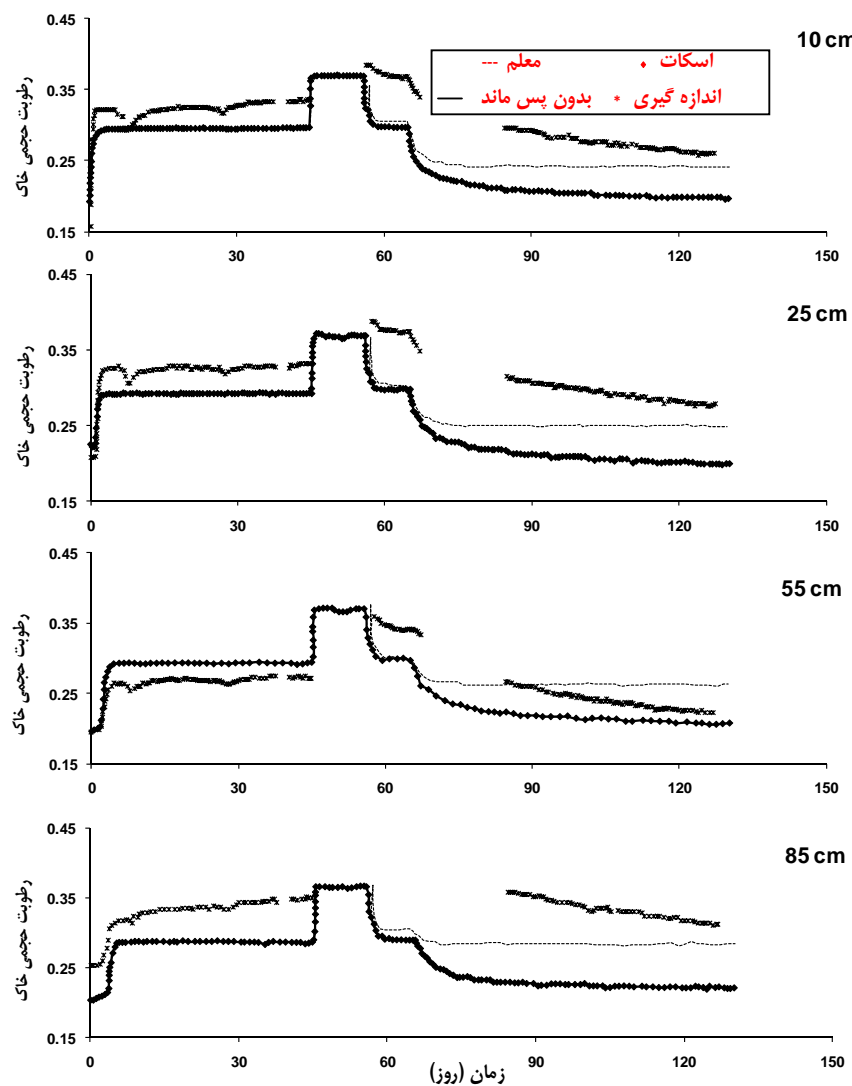
به نظر می‌رسد که شدت جریان خروجی از لایسیمترها در مقایسه با رطوبت و مکش ماتریک خاک نسبت به پس‌ماند رطوبتی حساسیت کمتری دارد. نمونه‌ای از شدت جریان‌های اندازه‌گیری و شبیه‌سازی شده با دو مدل اسکات و معلم در شکل ۶ مقایسه شده است. هر دو مدل با دقت نسبتاً خوبی شدت جریان و روند تغییرات آن را در خاک‌های مورد مطالعه برآورد نمودند. اختلاف نسبتاً زیادی بین نتایج دو مدل با حالت بدون پس‌ماند در مرحله ترشیدگی (ابتدا آزمایش‌ها) وجود داشت که اهمیت لحاظ پس‌ماند در مطالعه جریان آب در خاک را نشان می‌دهد.

یک مقایسه تحلیلی جامع بین نتایج دو مدل مورد استفاده با داده‌های اندازه‌گیری شده رطوبت خاک، مکش ماتریک و شدت

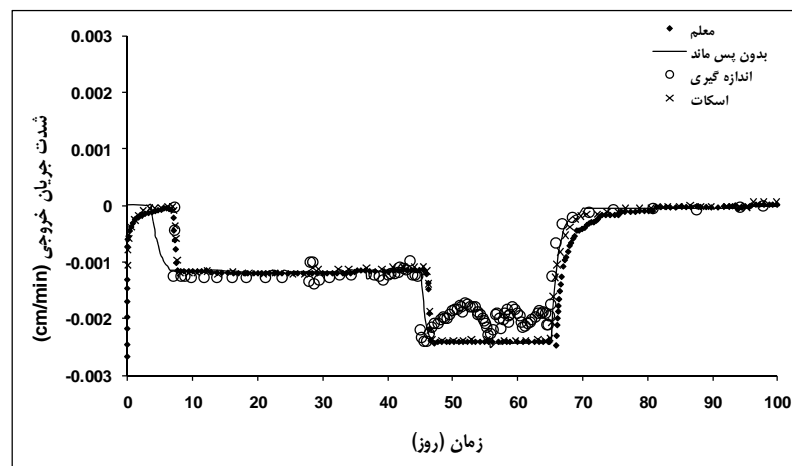
## جمع‌بندی و نتیجه‌گیری

تجربی اسکات در مجموع در مقایسه با مدل مفهومی معلم موققیت بیشتری در مطالعه پس‌ماند رطوبتی در دو خاک مورد مطالعه داشت. بیشترین مجموع خطای مطلق به مقدار ۶۹/۱۱ در لایسیمترهای خاک لومسیلتی مربوط به تخمین مکش ماتریک توسط مدل معلم و کمترین آن به مقدار ۴/۳۷ مربوط به تخمین رطوبت خاک توسط مدل اسکات بود. بیشترین ضرایب تعیین (۰/۹۶۲ تا ۰/۹۹۹) توسط مدل‌ها در لایسیمترهای لومشنسی برای تخمین شدت جریان خروجی حاصل شد. مطالعه پدیده پس‌ماند رطوبتی بهویژه در مقیاس‌های بزرگ تابع ترکیبی از پارامترهای مختلف خاک (از جمله بافت خاک، درجه همگنی/ناهمگنی و ...) است و ارزیابی‌های بیشتری را در خاک‌های مختلف طلب می‌کند. بررسی همزمان پس‌ماند و ناهمگنی خاک در مطالعات آتی پیشنهاد می‌شود.

در این مقاله، پدیده پس‌ماند رطوبتی در دو خاک لومسیلتی و لومشنسی با اندازه‌گیری‌های لایسیمتری و مدل‌سازی معکوس مورد بررسی و مدل‌های اسکات و معلم مورد مقایسه قرار گرفتند. ابتدا پارامترهای هیدرولیکی خاک در منحنی مشخصه رطوبتی بدون لحاظ پس‌ماند تخمین و با گزینه‌های دیگر که پس‌ماند رطوبتی در آنها لحاظ شده بود، مقایسه شدند. پس‌ماند رطوبتی با استفاده از مدل تجربی و نسبتاً ساده اسکات و همکاران (۴۹) و مدل مفهومی معلم (۳۶) مطالعه شد. به طور کلی، هر دو خاک مورد مطالعه رفتار پس-ماندی از خود نشان دادند. تأثیر پس‌ماند بر روی اجزای مختلف جریان آب در خاک‌های مورد مطالعه (مثالاً سری‌های زمانی مکش ماتریک، رطوبت خاک و شدت جریان خروجی) متفاوت بود. نتایج دو مدل مورد استفاده در خاک‌های مورد مطالعه قدری متفاوت بود. ولی مدل



شکل ۵- مقایسه مدل‌های معلم و اسکات با حالت بدون پس‌ماند در تخمین رطوبت خاک در لایه‌های مختلف لایسیمتر P2



شکل ۶- مقایسه مدل‌های معلم و اسکات در تخمین شدت جریان خروجی خاک‌های مورد مطالعه L1

جدول ۵- مقایسه مدل‌های اسکات و معلم در تخمین رطوبت خاک، مکش ماتریک و شدت جریان خروجی خاک‌های مورد مطالعه

لایسیمتر	مدل اسکات						مدل معلم					
	شدت جریان		مکش ماتریک		رطوبت حجمی		شدت جریان		مکش ماتریک		رطوبت حجمی	
	SAD	R <sup>2</sup>	SAD	R <sup>2</sup>	SAD	R <sup>2</sup>	SAD	R <sup>2</sup>	SAD	R <sup>2</sup>	SAD	R <sup>2</sup>
L1	۳/۶۱	.۰/۴۴۸	۶۹/۰۰	.۰/۶۲۲	۱/۰/۵۳	.۰/۸۰۱	۵/۰۲	.۰/۴۹۳	۷۳/۱۹	.۰/۳۵۲	۱/۰/۲۵	.۰/۶۶۱
L2	۷/۰۷	.۰/۵۰۳	۴۵/۲۱	.۰/۹۱۶	۱۴/۲۳	.۰/۶۳۷	۶/۲۹	.۰/۶۲۲	۴۳/۱۰	.۰/۹۲۵	۱۴/۲۳	.۰/۶۳۷
L3	۱/۹۲	.۰/۹۲۹	۸۵/۹۷	.۰/۹۴۳	۲/۷۷	.۰/۸۶۹	۲/۷۶	.۰/۷۸۵	۹۱/۰۴	.۰/۹۶۸	۷/۳۱	.۰/۸۵۲
متوسط	۴/۳۷	.۰/۶۲۷	۶۶/۷۳	.۰/۸۲۷	۹/۱۸	.۰/۷۶۹	۴/۸۶	.۰/۵۶۶	۶۹/۱۱	.۰/۷۴۸	۱۳/۲۶	.۰/۷۱۷
P1	۱۰/۹۲	.۰/۲۷۷	۴۲/۹۶	.۰/۶۴۷	۱۹/۰۵۳	.۰/۹۸۳	۱۰/۰۶	.۰/۱۶۴	۵۱/۰۳	.۰/۶۷۴	۱۸/۹۷	.۰/۹۹۹
P2	۷/۱۶	.۰/۶۳۴	۱۱۳/۷	.۰/۸۶۶	۱۱/۱۹	.۰/۹۷۱	۴/۶۵	.۰/۶۳۴	۱۱۵/۴	.۰/۹۴۳	۱۰/۴۴	.۰/۹۶۲
P3	۶/۶۵	.۰/۴۸۴	۷/۳۷	.۰/۸۳۰	۶/۹۷	.۰/۹۹۷	۶/۲۸	.۰/۵۵۱	۷/۰۶	.۰/۷۲۲	۹/۰۲	.۰/۹۹۲
متوسط	۸/۲۴	.۰/۴۱۴	۵۴/۶۶	.۰/۷۸۱	۱۲/۰۵۶	.۰/۹۸۴	۷/۰۰	.۰/۴۴۹	۵۷/۸۴	.۰/۷۸۰	۱۲/۸۱	.۰/۹۸۴

## منابع

- عباسی، ف. ۱۳۸۷. واسنجی دستگاه TDR با استفاده از محفظه‌های مکش آب جهت اندازه‌گیری غلظت املاح در دو خاک لومی و لوم‌مامه-ای. مجله تحقیقات آب و خاک ایران (مجله علوم کشاورزی ایران)، جلد ۳۹، شماره ۱، صفحات ۱۵۱-۱۶۲.
- Abbasi F., Javaux M., Vanclooster M., Feyen J., Wyseure G., and Nziguheba G. 2006. Experimental study of water flow and sulphate transport at monolith scale. Agric. Water Manag., 79(1): 93-112.
- Abdelkabir M., Bruno B., Mamert M., and Michel A. 2004. Hysteresis effects on the water retention curve: A comparison between laboratory results and predictive models. 57<sup>th</sup> Canadian Geotechnical Conference and 5<sup>th</sup> Joint CGS/IAH-CNC Conference, Quebec, Canada.
- Basile A., Ciollaro G., and Coppola A. 2003. Hysteresis in soil water characteristics as a key to interpreting comparisons of laboratory and field measured hydraulic properties. Water Ressour. Res., 39 (12): 1301-1312.
- Braddock R.D., Parlange J.Y., and Lee H. 2001. Application of a soil water hysteresis model to simple water retention curves. Transport in Porous Media, 44 (3): 407-420.
- Canone D., Ferraris S., Sander G., and Haverkamp R. 2008. Interpretation of water retention field measurements in relation to hysteresis phenomena. Water Ressour. Res., 44, WOOD12, doi:10.1029/2008WR007068.
- Carsel R.F., and Parrish R.S. 1988. Developing joint probability distributions of soil water retention characteristics. Water Ressour. Res., 24: 755-769. van Genuchten, F. Leij, and L. Wu, pp. 661-681, Univ. Calif., Riverside.
- Elmaloglou S., and Diamantopoulos E. 2007. The effect of hysteresis on three-dimensions transient water flow during surface trickle irrigation. Irrig. and Drain., 57(1): 57-70.
- FAO. 1991. World Soil Resources. Soils Bulletin 66. FAO, Rome.
- Feng M., and Fredlund D.G. 1999. Hysteretic influence associated with thermal conductivity sensor measurements. In Proceedings from Theory to the Practice of Unsaturated Soil Mechanics in Association with the 52<sup>nd</sup> Canadian Geotechnical Conference and the Unsaturated Soil Group, Regina, Sask., 23–24 October 1999. pp. 14.2:14-14.2:20.
- Ferraris S., Bevilacqua I., Calderon Vega F.M., Canone D., Previati M., and Haverkamp R. 2008. Methodology for calculating equivalent field scale soil hydraulic system parameters taking into account hysteresis. Geophysical Research Abstracts, Vol. 10, EGU2008-A-516.
- Gandola F., Debionne S., Varado N., Haverkamp R., Ross P.J., Sander G., and Parlange G.J.Y. 2004. Simple soil water hysteresis prediction model based on theory and geometric scaling. Geophysical Research Abstracts, Vol. 6, EGU04-A-07289.
- Gillham R.W., Klute A., and Heermann D.F. 1976. Hydraulic properties of a porous medium: measurements and empirical representation. Soil Sci. Soc. Am. J., 40: 203-207.
- Gillham R.W., Klute A., and Heermann D.F. 1979. Measurements and numerical simulation of hysteretic flow in a heterogeneous porous medium. Soil Sci. Soc. Am. J., 43: 1061-1067.
- Haverkamp R., and Parlange J.Y. 1986. Predicting the water-retention curve from particle size distribution: 1. Sandy soils without organic matter, Soil Sci., 142: 325-339.
- Haverkamp R., Reggiani P., Ross P.J., and Parlange J.Y. 2002. Soil water hysteresis prediction model based on

- theory and geometric scaling. In "Heat and Mass Transfer in the Natural Environment: A Tribute to J.R. Philip", Eds. D. Smiles, P. Raats, and A. Warrick, Monograph of the American Geophysical Union 129, Chapter 6.2, pp. 213-246.
- 17- Hoa N.T., Gaudu R., and Thirriot C. 1977. Influences of the hysteresis effect on transient flow in saturated-unsaturated porous media. *Water Resour. Res.*, 13: 992-996.
  - 18- Hopmans J.W., and Dane J.H. 1986. Temperature dependence of soil water retention curves. *Soil Sci. Soc. Am. J.*, 50: 562-567.
  - 19- Huang H.C., Tan Y.C., Liu C.W., and Chen C.H. 2005. A novel hysteresis model in unsaturated soil. *Hydrological Processes*, 19(8): 1653-1665.
  - 20- Huyer W., and Neumaier A. 1999. Global optimization by multilevel coordinate search. *J. Glob. Optim.*, 14: 331-355.
  - 21- Javadi A.A., and Elkassas A.S.I. 2010. Numerical modeling of hydraulic hysteresis in unsaturated soils. *Transport in Porous Media*, 75: 521-540.
  - 22- Javaux M., and Vanclooster M. 2006a. Scale-dependency of the hydraulic properties of a variably saturated heterogeneous sandy subsoil. *J. Hydrol.*, 327(3-4):376-388.
  - 23- Javaux M., and Vanclooster M. 2006b. Three-dimensional structure characterisation and transient flow modelling of a variably saturated heterogeneous monolith. *J. Hydrol.*, 327(3-4): 516-524.
  - 24- Jaynes D.B. 1984. Comparison of the soil-water hysteresis models. *J. Hydrol.*, 75: 287-299.
  - 25- Jaynes D.B. 1992. Estimating hysteresis in the soil water retention function. In Proceedings of the International Workshop on Indirect Methods for Estimating the Hydraulic Properties of Unsaturated Soils, University of California, Riverside, California, pp. 219-232.
  - 26- Kaluarachchi J.J., and Parker J.C. 1987. Effects of hysteresis with air entrapment on water flow in the unsaturated zone. *Water Resour. Res.*, 23: 1967-1976.
  - 27- Kerkides P.G., Kargas G., and Argyrokastritis I. 2006. The effect of different methods using for hysteretic  $K(h)$  determination on the infiltration simulations. *Irrig. and Drain.*, 55(4): 403-418.
  - 28- Kool J.B., and Parker J.C. 1987. Development and evaluation of closed-form expressions for hysteretic soil hydraulic properties. *Water Resour. Res.*, 23: 105-114.
  - 29- Lambot S., Hupet F., Javaux M., and Vanclooster M. 2004. Laboratory evaluation of a hydrodynamic inverse modeling method based on water content data. *Water Resour. Res.*, 40, 1224, doi: 10.1029/2003WR002641.
  - 30- Lambot S., Javaux M., Hupet F., and Vanclooster M. 2002. A global multilevel coordinate search procedure for estimating the unsaturated soil hydraulic properties. *Water Resour. Res.*, 38(11), 1224, doi: 10.1029/2001WR001224.
  - 31- Lehmann P., Stauffer F., Hinz C., Dury O., and Fluhler H. 1998. Effect of hysteresis on water flow in a sand column with a fluctuating capillary fringe. *J. Contaminant Hydrology*, 33(1-2): 81- 100.
  - 32- Michalewicz Z. 1996. Genetic Algorithms + Data Structures = Evolution Programs, 3rd Ed., Springer-Verlag, New York.
  - 33- Mitchell R.J., and Mayer A.S. 1998. The significance of hysteresis in modeling solute transport in unsaturated porous media. *Soil Sci. Soc. Am. J.*, 62:1506-1512.
  - 34- Mualem Y. 1974. A conceptual model of hysteresis. *Water Resour. Res.*, 10: 514-520.
  - 35- Mualem Y. 1976. A new model for predicting the hydraulic conductivity of unsaturated porous media. *Water Resour. Res.*, 12(3): 513-522.
  - 36- Mualem Y. 1977. Extension of the similarity hypothesis used for modeling the soil water characteristics. *Water Resour. Res.*, 13(4): 773-780.
  - 37- Mualem Y. 1984. A modified dependent domain theory of hysteresis. *Soil Sci.*, 137: 283-291.
  - 38- Naasz R.J., Michel C., and Charpentier S. 2005. Measuring hysteretic hydraulic properties of peat and pine bark using a transient method. *Soil Sci. Am. J.*, 69:13-22.
  - 39- Olyphant G.A. 2003. Temporal and spatial (down profile) variability of unsaturated soil hydraulic properties determined from a combination of repeated field experiments and inverse modeling. *J. Hydrol.*, 281:23-35.
  - 40- Pan L., and Wu L. 1999. Inverse estimation of hydraulic parameters by using simulated annealing and downhill simplex method. In Proceedings of the International Workshop on Characterization and Measurements of the Hydraulic Properties of Unsaturated Porous Media, Eds. M.Th. van Genuchten, F. Leij, and L. Wu, pp. 769-782, Univ. Calif., Riverside.
  - 41- Parkes M.E., Naysmith D.B., and McDowall M.A. 1989. Accounting for slow drainage and hysteresis in irrigation scheduling. *Irrig. Sci.*, 10(2): 127-140.
  - 42- Parlange J.Y. 1976. Capillary hysteresis and the relationship between drying and wetting curves. *Water Resour. Res.*, 12(2): 224-228.
  - 43- Pham H.Q., Fredlund D.G., and Barbour S.L. 2005. A study of hysteresis models for soil-water characteristic curves. *Can. Geotech. J.*, 42: 1548–1568.
  - 44- Ritter A., Hupet F., Munoz-Carpena R., Lambot S., and Vanclooster M. 2003. Using inverse methods for

- estimating soil hydraulic properties from field data as an alternative to direct methods. *Agric. Water Manage.*, 59: 77-96.
- 45- Ritter A., Munoz-Carpena R., Regaldo C.M., Vanclooster M., and Lambot L. 2004. Analysis of alternative measurement strategies for the inverse optimization of the hydraulic properties of a volcanic soil. *J. Hydrol.*, 295 (1): 124-139.
- 46- Russo D., Jury W.A., and Butters G.L. 1989. Numerical analysis of solute transport during transient irrigation: 1. The effect of hysteresis and profile heterogeneity. *Water Resour. Res.*, 25: 2109-2118.
- 47- Schaap M.G., Leij F.J., and Van Genuchten M.Th. 1998. Neural network analysis for hierarchical prediction of soil hydraulic properties. *Soil Sci. Soc. Am. J.*, 62: 847-855.
- 48- Schaap M.G., Leij F.J., and Van Genuchten M.Th. 2001. ROSETTA: A computer program for estimating soil hydraulic parameters with hierarchical pedotransfer functions. *J. Hydrol.* 251: 163-176.
- 49- Scott P.S., Farquhar G.J., and Kouwen N. 1983. Hysteretic effects on net infiltration, Advances in infiltration, Publ. 11-83, pp.163-170, Am. Soc. Agric. Eng., St. Joseph, Mich., USA.
- 50- Si B.C., and Kachanoski R.C. 2000a. Unified solution for infiltration and drainage with hysteresis: Theory and field test. *Soil Sci. Soc. Am. J.*, 64: 30-36.
- 51- Si B.C., and Kachanoski R.C. 2000b. Estimating soil hydraulic properties during constant flux infiltration: inverse procedures. *Soil Sci. Soc. Am. J.*, 64: 439-449.
- 52- Šimůnek J., Kodesova R., Gribb M., and Van Genuchten M.Th. 1999. Estimating hysteresis in the soil water retention function from cone permeameter experiments. *Water Resour. Res.*, 35:1329-1345.
- 53- Smith R.E., 1993. Cannulation experiments on the role of soil hydraulic characteristics in agro-ecosystems. *Modeling Geo-Biosphere Processes*, 2: 1-14.
- 54- Takeshita, Y., Kohno I., Van Genuchten, M.Th., Leij F., and Wu L. 1999. Parameter estimation of unsaturated soil hydraulic properties from transient outflow experiments using genetic algorithm. Proceedings of the International Workshop on Characterization and Measurements of the Hydraulic Properties of Unsaturated Porous Media. Univ. Calif., Riverside, pp. 761-768.
- 55- van Genuchten M.Th. 1980. A closed-form equation for predicting the hydraulic conductivity of unsaturated soils. *Soil Sci. Soc. Am. J.*, 44: 892-898.
- 56- Van Orshoven J., Maes J., Vereecken H., Feyen J., and Dusal R. 1988. Aardewerk: a structured database of Belgian soil profile data. *Pedologie*, 38: 191-206.
- 57- Vanclooster M., Viaene P., Christiaens K., and Ducheyne S. 1996. WAVE: a mathematical model for simulating water and agrochemicals in the soil and the vadose zone environmental Reference and User's Manual (Release 2.1), Vol. 1. Institute for Land and Water Management, Katholieke Universiteit Leuven, Belgium.
- 58- Vanderborght J., Kasteel R., Herbst M., Javaux M., Thiery D., Vanclooster M., Mouvet C., and Vereecken H. 2005. A set of analytical benchmarks to test numerical models of flow and transport in soils. *Vadose Zone Journal* 4: 206-221.
- 59- Vereecken H., Diels J., and Viaene P. 1995. The effect of soil heterogeneity hysteresis on solute transport: a numerical experiment. *Ecol. Model.*, 77: 273-288.
- 60- Viaene P., Vereecken H., Diels J., and Feyen J. 1994. A statistical analysis of six hysteresis models for the moisture retention characteristic. *Soil Sci.*, 157(6): 345-355.
- 61- Vrugt J.A., Gupta H.V., Bouten W., and Sorooshian S. 2003. A shuffled complex evolution metropolis algorithm for optimization and uncertainty assessment of hydrologic model parameters. *Water Resour. Res.*, 39(8), 1201, doi:10.1029/2002WR001642.
- 62- Vrugt J.A., Bouten W., and Weerts A.H. 2001. Information content of data for identifying soil hydraulic parameters from outflow experiments. *Soil Sci. Soc. Am. J.*, 65: 19-27.
- 63- Watson K.K., Reginato R.J., and Jackson R.D. 1975. Soil water hysteresis in a field soil. *Soil Sci. Soc. Am. J.*, 39: 242-246.
- 64- Werner A.D., and Lockington D.A. 2003. Influence of hysteresis on tidal capillary fringe dynamics in a well-sorted sand. *Advances in Water Resour.*, 26(11): 1199-1204.
- 65- Wosten J.H.M., Lilly A., Nemes A., and Le Bas C. 1999. Development and use of a database of hydraulic properties of European soils. *Geoderma*, 90: 169-185.
- 66- Zachmann D.W., DuChateau P.C., and Klute A. 1981. The calibration of the Richards flow equation for a draining column by parameter identification. *Soil Sci. Soc. Am. J.*, 45: 1012-1016.



## Estimating Soil Water Retention Curve Including Hysteresis Using Inverse Modeling and Scott's and Mualem's Models in two Different Soils

F. Abbasi<sup>1</sup>

Received: 11-07-2012

Accepted: 31-12-2012

### Abstract

Water movement in unsaturated soils is commonly affected by hysteresis which is often ignored in the mathematical description of water flow and solute transport. In this study, hysteresis in soil water retention curve was quantified at lysimeter scale in sandy loam and silty loam soils and results of the Scott's and Mualem's models were compared. Three undisturbed soil monoliths (80 cm diameter by 105 cm height) were collected for each soil and water movement was studied for various boundary conditions. Monoliths were equipped with different measuring devices to monitor soil water contents, pressure heads, and outlet water fluxes. Four unsaturated steady state water flow experiments were conducted on each monolith. Hydraulic properties were determined by inverse method using the WAVE model and a global multilevel coordinate search inversion algorithm. First soil hydraulic parameters in the soil water retention and hydraulic conductivity functions were estimated neglecting hysteresis and compared with the functions obtained using approaches considering hysteresis. Hysteresis was simulated using the simple empirical model proposed by Scott and using the universal conceptual model of Mualem. Results of measured and modeling data indicated that hysteresis was observed in both soils. The effect of hysteresis was different on various components of water flow (i.e., pressure head, water content, and water flux) in two studied soils. Water retention curves, pressure head, and water content were significantly influenced by hysteresis in both soils. The Scott's model considerably improved pressure head estimates in the silty loam soil and Mualem's model somewhat improved the soil water content estimates in the sandy loam soil. Outlet water fluxes in both soils were less sensitive to hysteresis. In general, the simple hysteretic model of Scott was more successful in studying hysteresis in both studied soils.

**Keywords:** Hysteresis, Inverse modeling, Scott's model, Mualem's model, WAVE model

1- Associate Professor, Agricultural Engineering Research Institute (AERI)  
Email:F.abbasi@aeri.ir